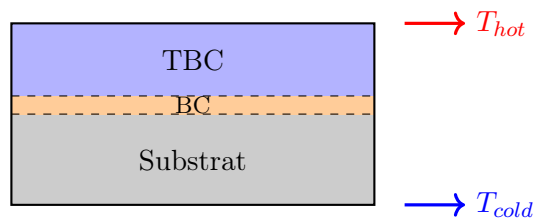


Rapport de Synthèse Exhaustif

Modélisation Thermo-Mécanique
des Systèmes Barrière Thermique (TBC)

De la Théorie à l'Implémentation Python/Streamlit

Conforme au document *ProjectEstaca.pdf*



Projet : Industriel 5A-IDSA
Encadrement : ONERA (A. Vattré)
Partenaires : ESTACA / Safran
Date : 23 janvier 2026

Mots-clés : Barrière thermique, Méthode spectrale, Multicouche,
Analyse modale, Critères d'endommagement, Streamlit

Table des matières

Résumé Exécutif	3
1 Introduction	4
1.1 Objectif Industriel	4
1.2 Structure du Système Multicouche Étudié	4
1.3 Paramètres Adimensionnels Clés	4
1.4 Organigramme de l’Algorithme Spectral	5
2 Architecture Globale du Code	5
2.1 Structure des Répertoires	5
2.2 Diagramme de Flux des Données	6
3 Interface Streamlit - Architecture des Onglets	6
3.1 Point d’Entrée : Profil de température Aube.py	6
3.2 Onglet Dashboard (tabs/dashboard_home.py)	7
3.3 Onglet Mécanique (tabs/mechanical.py)	7
3.4 Visualisations Avancées	8
4 Modélisation Mathématique Détailée (Étapes 1-8 du PDF)	8
4.1 Étape 1-2 : Représentation Spectrale de la Température	8
4.2 Étape 3 : Solution Thermique par Couche	9
4.3 Étape 4 : Loi de Comportement Thermo-Élastique	9
4.4 Étape 5 : Ansatz de Déplacement	9
4.5 Étape 6 : Matrice Dynamique $\Gamma(\tau)$ et Valeurs Propres	9
4.6 Étape 7 : Assemblage 9×9 et Termes Thermiques	10
4.7 Étape 8 : Assemblage Multicouche	11
4.8 Critères d’Endommagement	12
5 Correspondance Théorie ↔ Code : Implémentation Python	12
5.1 Étape 1-3 : Thermique (core/calculation.py)	12
5.2 Étape 4 : Loi de Comportement (core/constants.py)	13
5.3 Étape 5-6 : Ansatz et Système aux Valeurs Propres (core/mechanical.py)	13
5.4 Étape 7 : Matrice R et Conditions aux Limites	14
5.5 Étape 8 : Assemblage Global (core/mechanical.py)	15
5.6 Nouvelle Implémentation : Module mechanical_pdf.py	16
5.6.1 Section 2 : Forme de la Solution Générale	16
5.6.2 Section 5 : Opérateurs L_{jk} et Termes Thermiques	16
5.6.3 Section 6 : Matrice $\Gamma(\tau)$	18
5.6.4 Section 7 : Assemblage Matriciel 9×9	18
6 Critères d’Endommagement (core/damage_analysis.py)	19
7 Tableau de Correspondance Complet	19
8 Forçage Thermique et Coefficients Beta	20
8.1 Coefficients de Contrainte Thermique β_i	20
8.2 Vecteur de Forçage Thermique \mathbf{F}_{th}	21
9 Stabilité Numérique : Régularisation de Tikhonov	21
9.1 Préconditionnement par Équilibrage	21
9.2 Régularisation de Tikhonov	21

10 Interprétation Physique des Résultats	22
10.1 Signification des Contraintes Transverses	22
10.2 Zones Critiques Typiques	22
10.3 Influence des Paramètres sur les Contraintes	22
10.4 Modes de Rupture aux Interfaces	23
11 Comparaison : Méthode Spectrale vs CLT	23
12 Validation : Référence ONERA/Safran	23
13 Annexe A : Équilibre Local et Solution Détailée	24
13.1 Équilibre Local en Formulation Forte	24
13.1.1 Équations de Champ (x_3)	24
13.2 Forme de la Solution Générale	24
13.3 Dérivées Premières et Secondes	25
13.4 Opérateurs $L_{jk}^{r(i)}$ de la Matrice Dynamique	25
13.5 Matrice $\Gamma(\tau)$ et Système Homogène	26
13.6 Assemblage Complet du Système 9×9	26
13.7 Termes de Sollicitation Thermique \mathcal{Q}_α	26
14 Conclusion	27

Résumé Exécutif

Objectif du Projet

Développer un outil de simulation numérique pour l'évaluation thermomécanique des zones critiques d'endommagement dans les aubes de turbines multicouches nouvelle génération.

Méthodologie :

- Approche **semi-analytique** basée sur la décomposition spectrale (séries de Fourier)
- Résolution du problème aux valeurs propres $\det(M(\tau)) = 0$ pour chaque couche
- Assemblage multicouche via matrice de transfert $\Phi(z)$
- Critères d'endommagement D et Tsai-Wu

Résultats Clés :

Métrique	Plage Typique	Seuil Critique
Température interface	800–1050°C	$T_{crit} = 1100°C$
Indicateur D	0.2–0.8	$D \geq 1$ (rupture)
σ_{33} max	50–200 MPa	$\sigma_t^{ceramic} = 150$ MPa

Livrables :

1. Code Python (`core/mechanical.py` : 1482 lignes)
2. Interface Streamlit interactive
3. Documentation technique complète (ce rapport)

1 Introduction

Ce document établit la correspondance **rigoureuse** entre :

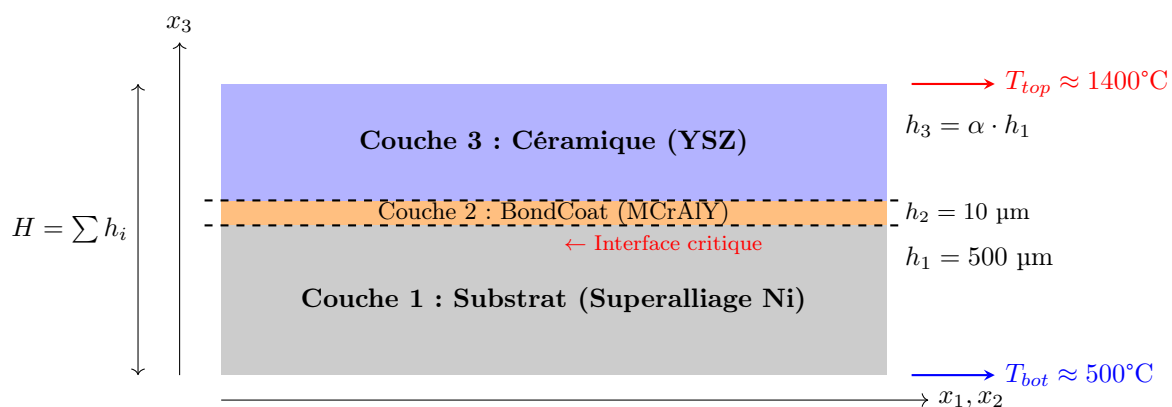
- Le document théorique de référence `ProjectEstaca.pdf` (8 étapes)
- L'implémentation Python dans le module `core/`
- L'interface utilisateur Streamlit dans le module `tabs/`

1.1 Objectif Industriel

Évaluation thermomécanique des zones critiques d'endommagement dans les aubes de turbines multicouches nouvelle génération (Projet 5A-IDSA, encadrement ONERA).

1.2 Structure du Système Multicouche Étudié

Le système TBC (Thermal Barrier Coating) comprend N couches empilées selon la direction normale x_3 :



1.3 Paramètres Adimensionnels Clés

Les paramètres d'entrée de l'application sont :

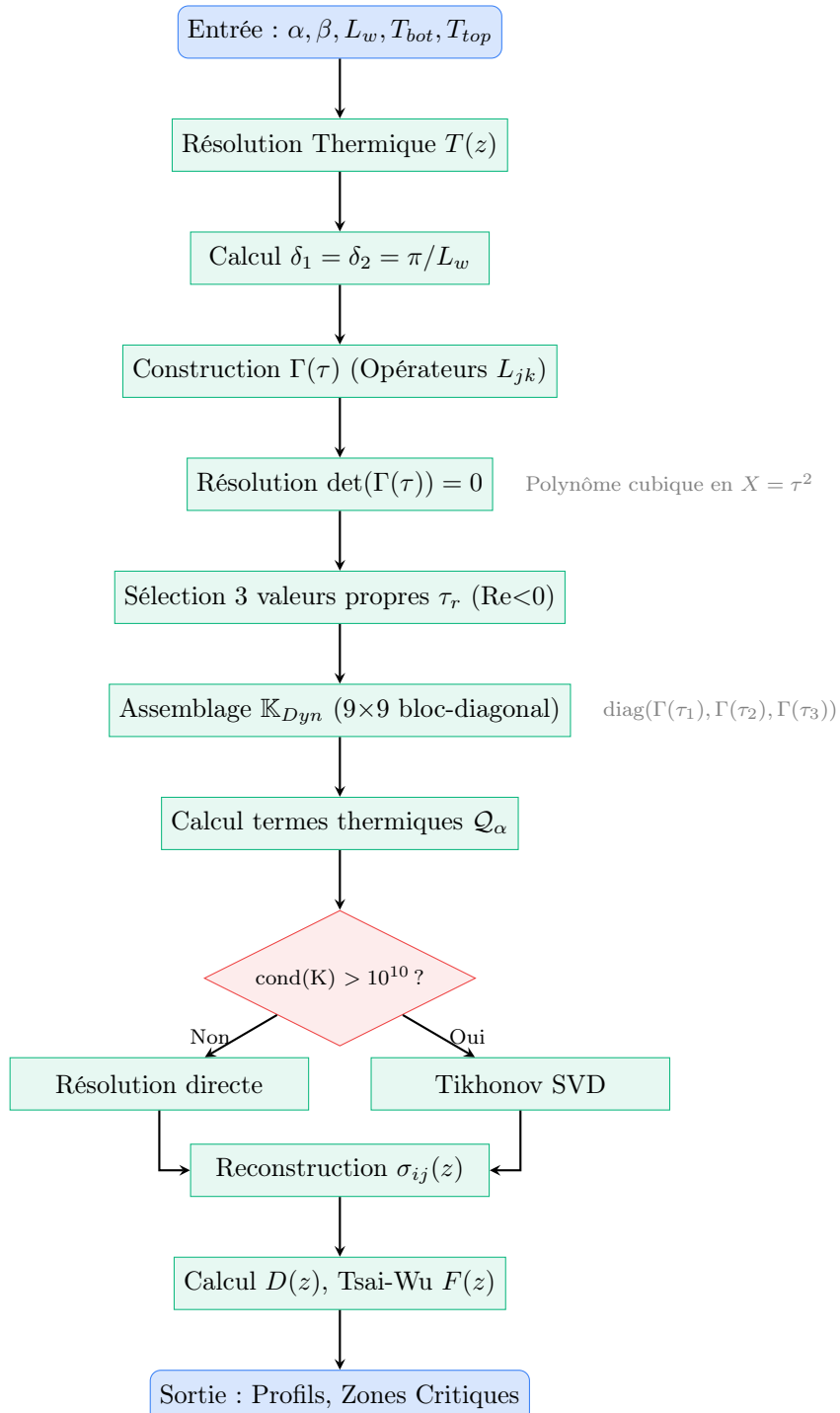
$$\alpha = \frac{h_3}{h_1} \quad (\text{ratio épaisseur céramique/substrat, typiquement 0.1 à 1.0}) \quad (1)$$

$$\beta = \frac{k_3}{k_1} \quad (\text{ratio conductivité thermique}) \quad (2)$$

$$L_w \quad (\text{longueur d'onde de la perturbation latérale, en mètres}) \quad (3)$$

$$\delta_1 = \delta_2 = \frac{\pi}{L_w} \quad (\text{nombres d'onde spectraux}) \quad (4)$$

1.4 Organigramme de l'Algorithmhe Spectral



2 Architecture Globale du Code

2.1 Structure des Répertoires

Arborescence du Projet

```

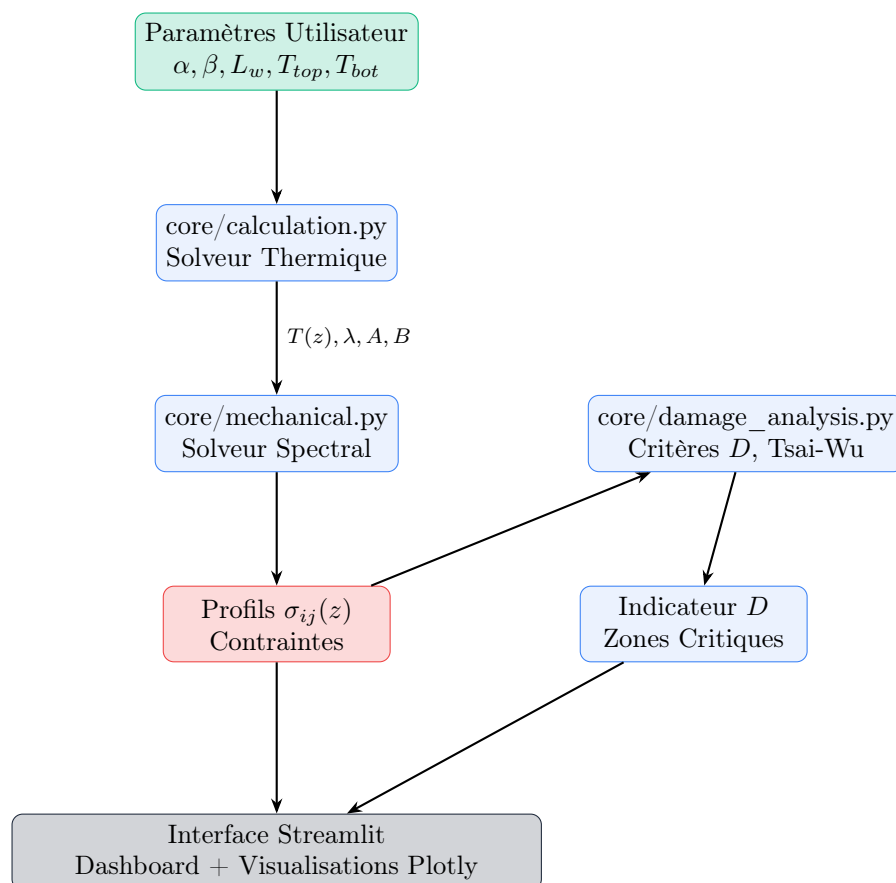
projet-industriel5a/
+-- core/                                     # Moteur de calcul
|   +-- mechanical.py                         # Solveur spectral (1482 lignes)
|   +-- damage_analysis.py                   # Criteres d'endommagement
|   +-- clt_solver.py                        # Theorie classique des stratifies
  
```

```

|   +- constants.py           # Proprietes materiaux (Cij, alpha)
|   +- calculation.py        # Solveur thermique
|   +- validation.py         # Tests de validation
+-- tabs/
|   +- dashboard_home.py     # Tableau de bord principal
|   +- mechanical.py         # Onglet analyse mecanique
|   +- optimization.py       # Onglet optimisation
|   +- study_parametric.py   # Etude parametrique
|   +- theory_interactive.py # Documentation interactive
|   +- mapping_3d.py          # Visualisation 3D
+-- Profil de temperature Aube.py # Point d'entree Streamlit
+-- requirements.txt          # Dependances Python

```

2.2 Diagramme de Flux des Données



3 Interface Streamlit - Architecture des Onglets

L'application Streamlit est organisée en onglets spécialisés, chacun correspondant à un fichier dans `tabs/`.

3.1 Point d'Entrée : Profil de température Aube.py

```

1 import streamlit as st
2
3 st.set_page_config(
4     page_title="TBC Analysis Dashboard",
5     page_icon="shield",
6     layout="wide",
7     initial_sidebar_state="expanded"

```

```

8 )
9
10 # Import des onglets
11 from tabs import dashboard_home, mechanical, optimization, study_parametric
12
13 # Navigation par onglets
14 tab_home, tab_mech, tab_optim, tab_study = st.tabs([
15     "Dashboard", "Mecanique", "Optimisation", "Etude Parametrique"
16 ])
17
18 with tab_home:
19     dashboard_home.render()
20 with tab_mech:
21     mechanical.render()
22 # ...

```

Listing 1 – Configuration Streamlit (Profil de température Aube.py)

3.2 Onglet Dashboard (tabs/dashboard_home.py)

Cet onglet affiche une vue panoramique avec :

- **6 KPIs** : Température interface, Épaisseur TBC, Indicateur D, Performance thermique, Gradient ΔT , Marge de sécurité
- **Jauge de Risque** : Visualisation semi-circulaire de l'indicateur D
- **Radar Multi-Critères** : Performance sur 5 axes
- **Visualisation 3D** : Champ thermique avec Plotly
- **Recommandations Intelligentes** : Générées automatiquement

```

1 @st.cache_data
2 def compute_real_damage_indicator(alpha, lw, t_top, t_bottom):
3     """
4         Calcule l'indicateur d'endommagement D base sur la physique reelle.
5
6         Logique:
7             1. Si T_interface > T_critique -> D > 1 (dommage thermique garanti)
8             2. Sinon: D = D_mecanique + bonus si proche de T_critique
9     """
10    from core.damage_analysis import CRITICAL_STRESS
11    from core.constants import GPa_TO_PA
12
13    # Modele de resistances thermiques en serie
14    R1 = h1 / CONSTANTS['k33_1']
15    R2 = h2 / CONSTANTS['k33_2']
16    R3 = h3 / CONSTANTS['k33_3']
17    R_total = R1 + R2 + R3
18
19    # Temperature a l'interface substrat/bondcoat
20    T_h1 = t_bottom + delta_T_total * R1 / R_total
21
22    # CAS 1: TEMPERATURE AU-DESSUS DE LA LIMITE CRITIQUE
23    if T_h1 > T_crit:
24        D_thermal = 1.0 + (T_h1 - T_crit) / 200.0
25        return max(0.05, min(1.5, D_thermal))
26
27    # CAS 2: D base sur les contraintes mecaniques
28    sigma_thermal = E_ceramic * delta_alpha * delta_T_interface
29    D_mechanical = max(D_ceramic_tension, D_ceramic_shear, D_bondcoat)
30
31    return max(0.05, min(1.5, D_mechanical))

```

Listing 2 – Calcul de l'Indicateur D Réel (tabs/dashboard_home.py lignes 23-123)

3.3 Onglet Mécanique (tabs/mechanical.py)

Cet onglet implémente l'analyse spectrale complète :

```

1 def run_full_analysis(h_tbc, h_bc_unused, T_hat, Lw, method, show_math,
2                         alpha, beta, t_bottom, t_top, n_modes=1):
3     """Lance l'analyse complete et stocke les resultats."""
4

```

```

5   from core.constants import PROPS_SUBSTRATE, PROPS_BONDCOAT, PROPS_CERAMIC
6   from core.constants import ALPHA_SUBSTRATE, ALPHA_BONDCOAT, ALPHA_CERAMIC
7
8   # Configuration des couches avec propriétés DISTINCTES
9   layer_configs = [
10     (h_sub_m, PROPS_SUBSTRATE, ALPHA_SUBSTRATE),      # Substrat Nickel
11     (h_bco_m, PROPS_BONDCOAT, ALPHA_BONDCOAT),        # Bond Coat McAlY
12     (h_tbc_m, PROPS_CERAMIC, ALPHA_CERAMIC)           # Céramique YSZ
13   ]
14
15   # === ÉTAPE 7: Résolution équation caractéristique ===
16   char_eq_result = solve_characteristic_equation(delta1, delta2, props)
17   tau_roots = char_eq_result['tau_roots']
18
19   # === ÉTAPE 8.1: Vecteurs propres de déplacement ===
20   eigenvectors = compute_all_eigenvectors(tau_roots, delta1, delta2, props)
21
22   # === ÉTAPE 8.3: Vecteurs propres de contrainte ===
23   eigenvectors_with_stress = compute_all_stress_eigenvectors(
24     eigenvectors, delta1, delta2, props
25   )
26
27   # === Résolution multicouche complète ===
28   spectral_res = solve_multilayer_problem(
29     layer_configs, Lw, lambda_th, T_hat_list, method='spectral',
30   )
31
32   # === SUPERPOSITION CLT + Spectral ===
33   clt_res = solve_multilayer_clt(layer_configs, T_mean_struct)
34
35   # Stockage dans session_state pour affichage
36   st.session_state["mech_spectral_results"] = {
37     'tau_roots': tau_roots,
38     'eigenvectors': eigenvectors_with_stress,
39     'full_results': {'stress_profile': stress_total},
40     '# ...
41 }
```

Listing 3 – Fonction Principale d'Analyse (tabs/mechanical.py lignes 161-320)

3.4 Visualisations Avancées

L'onglet mécanique affiche 4 sous-onglets :

1. **Contraintes** : Profils $\sigma_{33}(z)$ et $\sigma_{13}(z)$
2. **Endommagement** : Indicateur $D(z)$ et critère Tsai-Wu $F(z)$
3. **Interfaces** : Comparaison des contraintes aux interfaces
4. **Avancé** : Cercle de Mohr, surface 3D des contraintes

4 Modélisation Mathématique Détaillée (Étapes 1-8 du PDF)

Cette section présente les formules complètes utilisées dans le code, conformes au document *ProjectEstaca.pdf*.

4.1 Étape 1-2 : Représentation Spectrale de la Température

Développement en Séries de Fourier

La température est développée en série double de Fourier :

$$T(x_\alpha, x_3) = \sum_{m_\alpha, m_\beta=1}^{\infty} T_{m_\alpha m_\beta}(x_3) \sin(\delta_\alpha x_\alpha) \sin(\delta_\beta x_\beta) \quad (5)$$

avec les nombres d'onde $\delta_\alpha = \frac{m_\alpha \pi}{L_\alpha}$.

4.2 Étape 3 : Solution Thermique par Couche

Dans chaque couche i , la solution de l'équation de conduction est :

$$T^{(i)}(x_3) = A^{(i)}e^{\lambda^{(i)}x_3} + B^{(i)}e^{-\lambda^{(i)}x_3} \quad (6)$$

avec l'exposant thermique :

$$\lambda^{(i)} = \delta_\eta \sqrt{\frac{k_{\eta\eta}^{(i)}}{k_{33}^{(i)}}} \quad (7)$$

4.3 Étape 4 : Loi de Comportement Thermo-Élastique

Loi de Hooke avec Effet Thermique

$$\sigma_{ij}(x) = C_{ijkl}(x_3) (\varepsilon_{kl}(x) - \alpha_{kl}(x_3)T(x)) \quad (8)$$

où C_{ijkl} est le tenseur de rigidité et α_{kl} les coefficients de dilatation thermique.

Correspondance Notation Tensorielle \leftrightarrow Voigt :

$$\begin{array}{cccc|ccc} C_{1111} \rightarrow C_{11} & C_{1122} \rightarrow C_{12} & C_{1133} \rightarrow C_{13} & | & C_{1313} \rightarrow C_{55} & C_{2323} \rightarrow C_{44} & C_{1212} \rightarrow C_{66} \end{array}$$

4.4 Étape 5 : Ansatz de Déplacement

Forme des Champs de Déplacement

$$u_1(x_1, x_2, x_3) = V_1(x_3) \cos(\delta_1 x_1) \sin(\delta_2 x_2) \quad (9)$$

$$u_2(x_1, x_2, x_3) = V_2(x_3) \sin(\delta_1 x_1) \cos(\delta_2 x_2) \quad (10)$$

$$u_3(x_1, x_2, x_3) = V_3(x_3) \sin(\delta_1 x_1) \sin(\delta_2 x_2) \quad (11)$$

avec $V_i(x_3) = A_i \cdot e^{\tau x_3}$ où τ est la **valeur propre** à déterminer.

4.5 Étape 6 : Matrice Dynamique $\Gamma(\tau)$ et Valeurs Propres

L'équation d'équilibre $\text{div}(\boldsymbol{\sigma}) = 0$ conduit au système homogène :

$$\Gamma(\tau) \cdot \mathbf{A} = \mathbf{0} \quad (12)$$

Matrice $\Gamma(\tau)$ - Opérateurs L_{jk}

$$\boxed{\Gamma(\tau) = \begin{pmatrix} L_{11} & L_{12} & L_{13} \\ L_{21} & L_{22} & L_{23} \\ L_{31} & L_{32} & L_{33} \end{pmatrix}} \quad (13)$$

Termes diagonaux :

$$L_{11} = C_{55}\tau^2 - (C_{11}\delta_1^2 + C_{66}\delta_2^2) \quad (14)$$

$$L_{22} = C_{44}\tau^2 - (C_{22}\delta_2^2 + C_{66}\delta_1^2) \quad (15)$$

$$L_{33} = C_{33}\tau^2 - (C_{55}\delta_1^2 + C_{44}\delta_2^2) \quad (16)$$

Termes croisés dans le plan (symétriques) :

$$L_{12} = L_{21} = -(C_{12} + C_{66})\delta_1\delta_2 \quad (17)$$

Termes hors-plan (ANTISYMÉTRIQUES) :

$$L_{13} = +(C_{13} + C_{55})\delta_1\tau, \quad L_{31} = -(C_{13} + C_{55})\delta_1\tau \quad (18)$$

$$L_{23} = +(C_{23} + C_{44})\delta_2\tau, \quad L_{32} = -(C_{23} + C_{44})\delta_2\tau \quad (19)$$

Propriété d'Antisymétrie Critique

$L_{13} = -L_{31}$ et $L_{23} = -L_{32}$: cette antisymétrie provient de l'équation d'équilibre en direction x_3 et est **essentielle** pour la physique correcte.

Équation Caractéristique :

$$\det(\Gamma(\tau)) = 0 \Rightarrow \text{Polynôme d'ordre 6 : } P(\tau) = c_6\tau^6 + c_4\tau^4 + c_2\tau^2 + c_0 = 0 \quad (20)$$

En posant $X = \tau^2$, on obtient un polynôme cubique avec 3 racines X_i . On sélectionne les 3 valeurs propres τ_r avec $\text{Re}(\tau_r) < 0$ (condition de radiation).

4.6 Étape 7 : Assemblage 9×9 et Termes Thermiques

Le système global pour une couche (i) s'écrit :

$$\left[\mathbb{K}_{Dyn}^{(i)} \right]_{(9 \times 9)} \cdot \{\mathcal{A}^{(i)}\}_{(9 \times 1)} = \{\mathcal{F}_{Th}^{(i)}\}_{(9 \times 1)} \quad (21)$$

Matrice Bloc-Diagonale \mathbb{K}_{Dyn}

$$\mathbb{K}_{Dyn}^{(i)} = \begin{pmatrix} \Gamma(\tau_1) & 0 & 0 \\ 0 & \Gamma(\tau_2) & 0 \\ 0 & 0 & \Gamma(\tau_3) \end{pmatrix}_{9 \times 9} \quad (22)$$

Chaque bloc $\Gamma(\tau_r)$ est la matrice 3×3 des opérateurs L_{jk} évaluée à $\tau = \tau_r$.

Vecteur d'amplitudes et vecteur thermique :

$$\mathcal{A}^{(i)} = \begin{pmatrix} A_1^1 \\ A_2^1 \\ A_3^1 \\ A_1^2 \\ A_2^2 \\ A_3^2 \\ A_1^3 \\ A_2^3 \\ A_3^3 \end{pmatrix}^{(i)}, \quad \mathcal{F}_{Th}^{(i)} = \begin{pmatrix} Q_1 \\ Q_2 \\ Q_3 \\ Q_1 \\ Q_2 \\ Q_3 \\ Q_1 \\ Q_2 \\ Q_3 \end{pmatrix}^{(i)} \quad (23)$$

Termes de Sollicitation Thermique Q_α

$$Q_1^{(i)} = (C_{11}\alpha_{11} + C_{12}\alpha_{22}) \delta_1 T(x_3 = \bar{h}^{(i)}) \quad (24)$$

$$Q_2^{(i)} = (C_{22}\alpha_{22} + C_{12}\alpha_{11}) \delta_2 T(x_3 = \bar{h}^{(i)}) \quad (25)$$

$$Q_3^{(i)} = (C_{13}\alpha_{11} + C_{23}\alpha_{22} + C_{33}\alpha_{33}) \frac{dT}{dx_3} \Big|_{x_3=\bar{h}^{(i)}} \quad (26)$$

4.7 Étape 8 : Assemblage Multicouche

Système Global pour N couches :

$$K_{glob} \cdot \mathbf{C}_{global} = \mathbf{F}_{thermique} \quad (27)$$

avec $6N$ inconnues (18 pour 3 couches).

Bilan des Équations :

- 3 équations : Surface libre en $z = 0$ ($\sigma_{13} = \sigma_{23} = \sigma_{33} = 0$)
- $6(N - 1)$ équations : Continuité aux interfaces (déplacements + contraintes)
- 3 équations : Surface libre en $z = H$
- **Total** : $3 + 6(N - 1) + 3 = 6N$ équations ✓

Réduction du Nombre d'Équations : 27 → 18

Formulation théorique complète (pour $N = 3$ couches) :

Type d'équation	Nombre	Formule
Équilibre volumique (div $\sigma = 0$)	9	3 directions × 3 couches
Continuité aux interfaces	12	2 interfaces × 6 conditions
Conditions aux limites ($\sigma = 0$)	6	2 surfaces × 3 composantes
Total théorique	27	

Réduction par l'approche modale (méthode spectrale) :

Les **9 équations d'équilibre volumique sont IMPLICITEMENT satisfaites !**

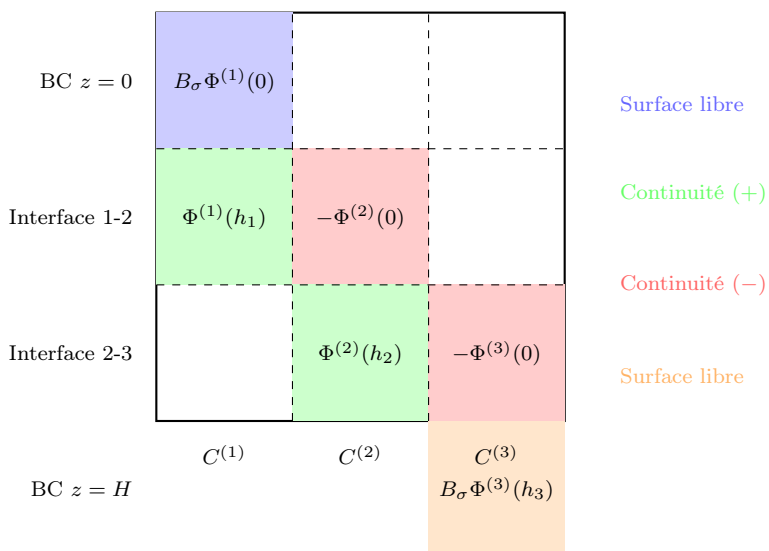
En écrivant la solution sous la forme $U_\alpha(x_3) = \sum_r A_\alpha^r \cdot e^{\tau_r x_3}$ avec les τ_r **valeurs propres** de $\Gamma(\tau)$ (définies par $\det(\Gamma(\tau_r)) = 0$), l'équation d'équilibre $\Gamma(\tau_r) \cdot \mathbf{A}^r = 0$ est automatiquement vérifiée.

Système final résolu :

Type d'équation	Nombre	Implémentation
Équilibre volumique	0	✓ Implicite (via τ_r)
Continuité aux interfaces	12	$\Phi^{(k)}(h_k) = \Phi^{(k+1)}(0)$
Conditions aux limites	6	$\sigma(0) = 0, \sigma(H) = 0$
Total résolu	18	= $6N$ pour N couches

Conclusion : La puissance de la méthode spectrale réside dans la réduction de $27 \rightarrow 18$ équations grâce à la structure modale.

Structure de la Matrice Globale K_{glob} (pour 3 couches)



4.8 Critères d'Endommagement

Indicateur de Dommage D

$$D = \max_{ij} \left(\frac{|\sigma_{ij}|}{\sigma_{crit}^{ij}} \right) \quad (28)$$

Interprétation :

- $D < 0.5$: Zone sûre
- $0.5 \leq D < 0.8$: Zone de prudence
- $D \geq 0.8$: Zone critique - Risque de délamination
- $D \geq 1$: Rupture probable

Contraintes Critiques par Matériau :

Matériau	σ_t (MPa)	σ_c (MPa)	τ (MPa)
Substrat (Ni)	1000	1200	600
BondCoat (MCrAlY)	500	700	300
Céramique (YSZ)	150	500	120

Critère de Tsai-Wu : Pour matériaux anisotropes :

$$F = F_3 \sigma_{33} + F_{33} \sigma_{33}^2 + F_{44} \sigma_{23}^2 + F_{55} \sigma_{13}^2 \quad (\text{Rupture si } F \geq 1) \quad (29)$$

5 Correspondance Théorie \leftrightarrow Code : Implémentation Python

5.1 Étape 1-3 : Thermique (core/calculation.py)

Référence PDF : Étapes 1-3

Résolution de la conduction thermique par couche :

$$T^{(i)}(x_3) = A^{(i)} e^{\lambda^{(i)} x_3} + B^{(i)} e^{-\lambda^{(i)} x_3}$$

```

1 def solve_tbc_model_v2(alpha, beta, lw, t_bottom, t_top, n_modes=1):
2     """
3         Resout le modèle thermique multicouche.
4

```

```

5     Returns:
6         dict avec T_at_h1, h3, profile_params (coeffs A, B, lambdas)
7     """
8     # Calcul des exposants thermiques par couche
9     delta_eta = np.pi / lw
10    lambda_1 = delta_eta * np.sqrt(k11_1 / k33_1)
11    lambda_2 = delta_eta * np.sqrt(k11_2 / k33_2)
12    lambda_3 = delta_eta * np.sqrt(k11_3 / k33_3)
13
14    # Resolution du systeme lineaire pour A_i, B_i
15    # Conditions: continuite T, continuite flux k33*dT/dx3
16    # ...
17
18    return {
19        'success': True,
20        'T_at_h1': T_interface,
21        'h3': h3,
22        'profile_params': {
23            'coeffs': [A1, B1, A2, B2, A3, B3],
24            'lambdas': [lambda_1, lambda_2, lambda_3],
25            'interfaces': [x_i1, x_i2]
26        }
27    }

```

Listing 4 – Solveur Thermique (core/calculation.py)

5.2 Étape 4 : Loi de Comportement (core/constants.py)

```

1 # Substrat : Superalliage Nickel (Inconel 718)
2 PROPS_SUBSTRATE = {
3     'C11': 259.6, # GPa - Ref ONERA Table 3
4     'C12': 179.0,
5     'C13': 179.0,
6     'C22': 259.6,
7     'C23': 179.0,
8     'C33': 259.6,
9     'C44': 109.6, # Cisaillement
10    'C55': 109.6,
11    'C66': 40.3,
12 }
13 ALPHA_SUBSTRATE = {'alpha_1': 13e-6, 'alpha_2': 13e-6, 'alpha_3': 13e-6} # K^-1
14
15 # Ceramique : Zirconium Stabilisee Yttrium (YSZ)
16 PROPS_CERAMIC = {
17     'C11': 50.0, 'C12': 10.0, 'C13': 10.0,
18     'C22': 50.0, 'C23': 10.0, 'C33': 50.0,
19     'C44': 20.0, 'C55': 20.0, 'C66': 20.0,
20 }
21 ALPHA_CERAMIC = {'alpha_1': 10e-6, 'alpha_2': 10e-6, 'alpha_3': 10e-6}

```

Listing 5 – Propriétés Matériaux (core/constants.py)

5.3 Étape 5-6 : Ansatz et Système aux Valeurs Propres (core/mechanical.py)

Référence PDF : Étape 6

Système matriciel homogène : $M(\tau) \cdot \mathbf{A} = 0$

```

1 def get_M_matrix(tau, delta1, delta2, props=MECHANICAL_PROPS):
2     """
3     Construit la matrice dynamique M(tau) 3x3.
4
5     THEORIE (PDF Etape 6):
6     M(tau) encapsule l'équation d'équilibre div(sigma) = 0
7     avec l'ansatz u_i = V_i * exp(tau * x3) * sin(delta * x)
8     """
9     # Termes K (independants de tau)
10    K11 = props['C11'] * delta1**2 + props['C66'] * delta2**2
11    K12 = (props['C12'] + props['C66']) * delta1 * delta2

```

```

12 K13_coeff = (props['C13'] + props['C55']) * delta1
13 K22 = props['C66'] * delta1**2 + props['C22'] * delta2**2
14 K23_coeff = (props['C23'] + props['C44']) * delta2
15 K33 = props['C55'] * delta1**2 + props['C44'] * delta2**2
16
17 M = np.zeros((3, 3), dtype=complex)
18
19 # Ligne 1: Equilibre selon x1
20 M[0, 0] = props['C55'] * tau**2 - K11
21 M[0, 1] = -K12
22 M[0, 2] = K13_coeff * tau
23
24 # Ligne 2: Equilibre selon x2
25 M[1, 0] = -K12
26 M[1, 1] = props['C44'] * tau**2 - K22
27 M[1, 2] = K23_coeff * tau
28
29 # Ligne 3: Equilibre selon x3 (SIGNES NEGATIFS - Eq. 166 PDF)
30 M[2, 0] = -K13_coeff * tau # -(C13+C55)*delta1*tau
31 M[2, 1] = -K23_coeff * tau # -(C23+C44)*delta2*tau
32 M[2, 2] = props['C33'] * tau**2 - K33
33
34 return M

```

Listing 6 – Construction de M(tau) (core/mechanical.py lignes 8-50)

```

1 def solve_characteristic_equation(delta1, delta2, props=MECHANICAL_PROPS):
2 """
3 Trouve les racines tau du determinant det(M(tau)) = 0.
4
5 METHODE NUMERIQUE ROBUSTE:
6 Au lieu des formules analytiques complexes, on evalue le determinant
7 en 3 points pour identifier les coefficients du polynome.
8 """
9 # Coefficient c6 (analytique exact - Eq. 18 PDF)
10 c6 = props['C55'] * props['C44'] * props['C33']
11
12 def get_det_at_X(X_val):
13     """Evalue det(M(sqrt(X))) pour construire le polynome."""
14     tau_val = np.sqrt(complex(X_val))
15     M = get_M_matrix(tau_val, delta1, delta2, props)
16     return compute_determinant_gaussian(M)
17
18 # Evaluations en X = tau^2
19 P_0 = get_det_at_X(0)    # P(0) = c0
20 P_1 = get_det_at_X(1)    # P(1) = c6 + c4 + c2 + c0
21 P_2 = get_det_at_X(2)    # P(2) = 8c6 + 4c4 + 2c2 + c0
22
23 # Systeme lineaire pour c4, c2
24 c0 = P_0
25 b1 = P_1 - c6 - c0
26 b2 = P_2 - 8*c6 - c0
27 c4 = (b2 - 2*b1) / 2
28 c2 = b1 - c4
29
30 # Racines du polynome cubique en X
31 coeffs_norm = [1, c4/c6, c2/c6, c0/c6]
32 X_roots = np.roots(coeffs_norm)
33
34 # 6 racines tau = +/- sqrt(X)
35 tau_roots = []
36 for X in X_roots:
37     tau_roots.extend([np.sqrt(X), -np.sqrt(X)])
38
39 return {'tau_roots': np.array(tau_roots), 'coeffs_poly': [c6, c4, c2, c0]}

```

Listing 7 – Résolution Équation Caractéristique (lignes 78-186)

5.4 Étape 7 : Matrice R et Conditions aux Limites

```

1 def get_R_matrix(tau, delta1, delta2, props=MECHANICAL_PROPS):
2 """
3 Construit la matrice R(tau) 3x3 pour le calcul du vecteur contrainte.

```

```

4 DERIVATION (conforme PDF Etape 7):
5 sigma_13 = C55 * (tau*V1 + delta1*V3)
6 sigma_23 = C44 * (tau*V2 + delta2*V3)
7 sigma_33 = -C13*delta1*V1 - C23*delta2*V2 + C33*tau*V3
8
9 Les signes NEGATIFS proviennent de d/dx1(cos) = -delta1*sin
10 """
11 R = np.zeros((3, 3), dtype=complex)
12
13 # sigma_13 = C55(tau V1 + delta1 V3)
14 R[0, 0] = props['C55'] * tau
15 R[0, 1] = 0
16 R[0, 2] = props['C55'] * delta1
17
18 # sigma_23 = C44(tau V2 + delta2 V3)
19 R[1, 0] = 0
20 R[1, 1] = props['C44'] * tau
21 R[1, 2] = props['C44'] * delta2
22
23 # sigma_33 = -C13*delta1*V1 - C23*delta2*V2 + C33*tau*V3
24 R[2, 0] = -props['C13'] * delta1 # Signe NEGATIF CONFIRME
25 R[2, 1] = -props['C23'] * delta2 # Signe NEGATIF CONFIRME
26 R[2, 2] = props['C33'] * tau
27
28 return R

```

Listing 8 – Matrice R(tau) (core/mechanical.py lignes 264-334)

5.5 Étape 8 : Assemblage Global (core/mechanical.py)

```

1 def solve_multilayer(layers, delta1, delta2, lambda_th=None, T_hat=None):
2 """
3 Resout le probleme mecanique pour un systeme multicouche.
4
5 IMPLEMENTATION AVEC PRECONDITIONNEMENT:
6 1. Construction du systeme K_glob @ C = F
7 2. Equilibrage par scaling: D_r @ K_glob @ D_c @ y = D_r @ F
8 3. Resolution du systeme equilibre
9 4. De-scaling: C = D_c @ y
10 """
11 N = len(layers)
12
13 # Setup de chaque couche (modes propres + forage thermique)
14 for k, layer in enumerate(layers):
15     setup_layer(layer, delta1, delta2, th_data)
16
17 # Matrice globale 6N x 6N
18 K_glob = np.zeros((6*N, 6*N), dtype=complex)
19 F_glob = np.zeros(6*N, dtype=complex)
20
21 # Matrice de selection des contraintes
22 B_stress = np.array([
23     [0, 0, 0, 1, 0, 0],
24     [0, 0, 0, 0, 1, 0],
25     [0, 0, 0, 0, 0, 1]
26 ], dtype=complex)
27
28 # BLOC 1: BC en z=0 (surface libre)
29 Phi_0 = build_Phi_matrix_normalized(0, layers[0].eigenvectors)
30 K_glob[0:3, 0:6] = B_stress @ Phi_0
31
32 # BLOCS de continuite aux interfaces
33 for k in range(N - 1):
34     Phi_k_top = build_Phi_matrix_normalized(layers[k].h, layers[k].eigenvectors)
35     Phi_kp1_bot = build_Phi_matrix_normalized(0, layers[k+1].eigenvectors)
36     K_glob[row_idx:row_idx+6, 6*k:6*(k+1)] = Phi_k_top
37     K_glob[row_idx:row_idx+6, 6*(k+1):6*(k+2)] = -Phi_kp1_bot
38
39 # BLOC N: BC en z=H (surface libre)
40 Phi_H = build_Phi_matrix_normalized(layers[-1].h, layers[-1].eigenvectors)
41 K_glob[-3:, -6:] = B_stress @ Phi_H
42
43 # PRECONDITIONNEMENT PAR EQUILIBRAGE

```

```

44     row_scales = [1.0 / np.max(np.abs(K_glob[i, :])) for i in range(6*N)]
45     D_r = np.diag(row_scales)
46     K_scaled = D_r @ K_glob
47     F_scaled = D_r @ F_glob
48
49     # Resolution
50     y, solve_info = solve_regularized_system(K_scaled @ D_c, F_scaled)
51     C_total = D_c @ y # Descaling
52
53     return {'layers': layers, 'C_total': C_total, 'cond_K': solve_info['cond']}

```

Listing 9 – Assemblage Système Global (lignes 992-1141)

5.6 Nouvelle Implémentation : Module mechanical_pdf.py

Un nouveau module `core/mechanical_pdf.py` a été développé pour suivre **exactement** la méthodologie du document `equilibre_local_corrige.pdf`, section par section.

Structure du Module mechanical_pdf.py

Le module est organisé selon les sections du PDF :

- **Section 2** : Forme de la solution générale $U_\alpha(x_3)$
- **Section 5** : Opérateurs L_{jk} et termes thermiques Q_α
- **Section 6** : Matrice dynamique $\Gamma(\tau)$
- **Section 7** : Assemblage matriciel 9×9 bloc-diagonal

5.6.1 Section 2 : Forme de la Solution Générale

Champ de Déplacement

$$U_\alpha(x_3) = \sum_{r=1}^3 A_\alpha^r \cdot e^{\tau_r \cdot x_3}, \quad \alpha \in \{1, 2, 3\} \quad (30)$$

où les τ_r sont les 3 valeurs propres sélectionnées ($\text{Re}(\tau) < 0$).

```

1 def build_displacement_field(A_amplitudes, tau_roots, x3):
2     """
3         Construit le champ de déplacement U(x3).
4
5         REFERENCE: equilibre_local_corrige.pdf, Section 2
6     """
7     U = np.zeros(3, dtype=complex)
8     for alpha in range(3):
9         for r in range(3):
10            U[alpha] += A_amplitudes[alpha, r] * np.exp(tau_roots[r] * x3)
11

```

Listing 10 – Solution Générale (core/mechanical_pdf.py)

5.6.2 Section 5 : Opérateurs L_{jk} et Termes Thermiques

Opérateurs L_{jk} de la Matrice Dynamique

Termes diagonaux :

$$L_{11} = C_{55}\tau^2 - (C_{11}\delta_1^2 + C_{66}\delta_2^2) \quad (31)$$

$$L_{22} = C_{44}\tau^2 - (C_{22}\delta_2^2 + C_{66}\delta_1^2) \quad (32)$$

$$L_{33} = C_{33}\tau^2 - (C_{55}\delta_1^2 + C_{44}\delta_2^2) \quad (33)$$

Termes croisés (symétriques) :

$$L_{12} = L_{21} = -(C_{12} + C_{66})\delta_1\delta_2 \quad (34)$$

Termes hors-plan (antisymétriques) :

$$L_{13} = +(C_{13} + C_{55})\delta_1\tau, \quad L_{31} = -L_{13} \quad (35)$$

$$L_{23} = +(C_{23} + C_{44})\delta_2\tau, \quad L_{32} = -L_{23} \quad (36)$$

```

1 def compute_L_operators(tau, delta1, delta2, props):
2     """
3         Calcule les opérateurs L_jk de la matrice dynamique.
4
5         REFERENCE: equilibre_local_corrige.pdf, Section 5
6         """
7
8     # Termes diagonaux
9     L_11 = props['C55'] * tau**2 - (props['C11'] * delta1**2 + props['C66'] * delta2**2)
10    L_22 = props['C44'] * tau**2 - (props['C22'] * delta2**2 + props['C66'] * delta1**2)
11    L_33 = props['C33'] * tau**2 - (props['C55'] * delta1**2 + props['C44'] * delta2**2)
12
13    # Termes croisés (symétriques)
14    L_12 = L_21 = -(props['C12'] + props['C66']) * delta1 * delta2
15
16    # Termes hors-plan (ANTISYMETRIQUES!)
17    L_13 = +(props['C13'] + props['C55']) * delta1 * tau
18    L_31 = -L_13 # Signe négatif!
19    L_23 = +(props['C23'] + props['C44']) * delta2 * tau
20    L_32 = -L_23 # Signe négatif!
21
22    return {'L_11': L_11, 'L_12': L_12, ..., 'L_33': L_33}

```

Listing 11 – Opérateurs L_{jk} (core/mechanical_pdf.py)**Termes Thermiques Q_α**

$$Q_1 = (C_{11}\alpha_{11} + C_{12}\alpha_{22})\delta_1 \cdot T(x_3 = \bar{h}) \quad (37)$$

$$Q_2 = (C_{22}\alpha_{22} + C_{12}\alpha_{11})\delta_2 \cdot T(x_3 = \bar{h}) \quad (38)$$

$$Q_3 = (C_{13}\alpha_{11} + C_{23}\alpha_{22} + C_{33}\alpha_{33}) \cdot \frac{dT}{dx_3} \Big|_{x_3=\bar{h}} \quad (39)$$

```

1 def compute_Q_thermal_vector(delta1, delta2, T, dT_dx3, alpha_coeffs, props):
2     """
3         Calcule le vecteur de sollicitation thermique Q = [Q1, Q2, Q3].
4
5         REFERENCE: equilibre_local_corrige.pdf, Section 7 (Eq. 266-269)
6         """
7
8     Q1 = (props['C11']*alpha['alpha_1'] + props['C12']*alpha['alpha_2']) * delta1 * T
9     Q2 = (props['C22']*alpha['alpha_2'] + props['C12']*alpha['alpha_1']) * delta2 * T
10    Q3 = (props['C13']*alpha['alpha_1'] + props['C23']*alpha['alpha_2']
11          + props['C33']*alpha['alpha_3']) * dT_dx3
12
13    return np.array([Q1, Q2, Q3])

```

Listing 12 – Termes Thermiques Q (core/mechanical_pdf.py)

5.6.3 Section 6 : Matrice $\Gamma(\tau)$

Matrice Dynamique $\Gamma(\tau)$

Le système homogène s'écrit $\Gamma(\tau) \cdot \mathbf{A} = \mathbf{0}$ avec :

$$\Gamma(\tau) = \begin{pmatrix} L_{11} & L_{12} & L_{13} \\ L_{21} & L_{22} & L_{23} \\ L_{31} & L_{32} & L_{33} \end{pmatrix} \quad (40)$$

Propriétés :

- $\Gamma_{12} = \Gamma_{21}$ (symétrique)
- $\Gamma_{13} = -\Gamma_{31}$ et $\Gamma_{23} = -\Gamma_{32}$ (antisymétrique)

```

1 def get_Gamma_matrix(tau, delta1, delta2, props):
2     """
3         Construit la matrice dynamique Gamma(tau) 3x3.
4
5         REFERENCE: equilibre_local_corrige.pdf, Section 6 (Eq. 199-208)
6     """
7     L = compute_L_operators(tau, delta1, delta2, props)
8     return np.array([
9         [L['L_11'], L['L_12'], L['L_13']],
10        [L['L_21'], L['L_22'], L['L_23']],
11        [L['L_31'], L['L_32'], L['L_33']]
12    ], dtype=complex)

```

Listing 13 – Matrice Gamma (core/mechanical_pdf.py)

5.6.4 Section 7 : Assemblage Matriciel 9×9

Matrice Bloc-Diagonale K_{Dyn}

La matrice globale 9×9 est bloc-diagonale :

$$\mathbb{K}_{Dyn} = \begin{pmatrix} \Gamma(\tau_1) & 0 & 0 \\ 0 & \Gamma(\tau_2) & 0 \\ 0 & 0 & \Gamma(\tau_3) \end{pmatrix}_{9 \times 9} \quad (41)$$

Avec le vecteur d'amplitudes $\mathcal{A} = (A_1^1, A_2^1, A_3^1, A_1^2, A_2^2, A_3^2, A_1^3, A_2^3, A_3^3)^T$.

```

1 def assemble_K_dyn_9x9(tau_roots, delta1, delta2, props):
2     """
3         Assemble la matrice dynamique bloc-diagonale 9x9.
4
5         REFERENCE: equilibre_local_corrige.pdf, Section 7 (Eq. 220-235)
6     """
7     K_dyn = np.zeros((9, 9), dtype=complex)
8
9     for r in range(3):
10        Gamma_r = get_Gamma_matrix(tau_roots[r], delta1, delta2, props)
11        start, end = 3*r, 3*(r+1)
12        K_dyn[start:end, start:end] = Gamma_r
13
14    return K_dyn

```

Listing 14 – Assemblage 9x9 (core/mechanical_pdf.py)

Système Final :

$$\mathbb{K}_{Dyn} \cdot \mathcal{A} = \mathcal{F}_{Th} \quad (42)$$

où $\mathcal{F}_{Th} = (Q_1, Q_2, Q_3, Q_1, Q_2, Q_3, Q_1, Q_2, Q_3)^T$.

6 Critères d'Endommagement (core/damage_analysis.py)

```

1 def compute_damage_indicator(sigma_13, sigma_23, sigma_33, layer_type='ceramic',
2                             sigma_11=None, sigma_22=None):
3     """
4     Calcule l'indicateur d'endommagement D pour chaque point.
5
6     D = max(|sigma_ij| / sigma_crit_ij)
7
8     D < 1: Sur
9     D = 1: Limite
10    D > 1: Endommagement probable
11    """
12    crit = CRITICAL_STRESS.get(layer_type, CRITICAL_STRESS['ceramic'])
13
14    # D cisaillement transverse
15    D_shear = np.maximum(np.abs(sigma_13), np.abs(sigma_23)) / crit['sigma_shear']
16
17    # D normal transverse (sigma_33)
18    D_33 = np.where(
19        sigma_33 >= 0,
20        np.abs(sigma_33) / crit['sigma_tensile'],
21        np.abs(sigma_33) / crit['sigma_compressive']
22    )
23
24    D = np.maximum(D_shear, D_33)
25
26    # CRITIQUE: Inclure les contraintes planes sigma_11, sigma_22
27    if sigma_11 is not None:
28        D_11 = np.abs(sigma_11) / crit['sigma_tensile']
29        D = np.maximum(D, D_11)
30
31    return D

```

Listing 15 – Indicateur de Dommage D (lignes 38-89)

```

1 def compute_tsai_wu_criterion(sigma_13, sigma_23, sigma_33, layer_type='ceramic'):
2     """
3     Critère de Tsai-Wu pour matériaux composites/anisotropes.
4
5     F = F_i * sigma_i + F_ij * sigma_i * sigma_j
6
7     F >= 1: Rupture
8     """
9     crit = CRITICAL_STRESS.get(layer_type)
10
11    # Coefficients F_i (asymétrie traction/compression)
12    F_3 = 1/crit['sigma_tensile'] - 1/crit['sigma_compressive']
13
14    # Coefficients F_ij
15    F_33 = 1 / (crit['sigma_tensile'] * crit['sigma_compressive'])
16    F_44 = 1 / (crit['sigma_shear']**2)
17    F_55 = 1 / (crit['sigma_shear']**2)
18
19    F = F_3 * sigma_33 + F_33 * sigma_33**2 + F_44 * sigma_23**2 + F_55 * sigma_13**2
20
21    return F

```

Listing 16 – Critère de Tsai-Wu (lignes 92-120)

7 Tableau de Correspondance Complet

Étape PDF	Fonction Python	Fichier	Description
Étape 1-3 : Thermique	solve_tbc_model_v2()	calculation.py	Résolution $T(z)$ par couche
Étape 4 : Loi Hooke	PROPS_*, ALPHA_*	constants.py	Tenseur C_{ij} , α_{ij}
Étape 5 : Ansatz	get_Gamma_matrix()	mechanical_pdf	Construction $\Gamma(\tau)$ avec L_{jk}

Étape PDF	Fonction Python	Fichier	Description
Étape 6 : Valeurs propres	<code>solve_characteristic_polynomial()</code>	<code>pdf/mechanical.pdf</code>	Résolution $\det(\Gamma) = 0$
Étape 6 : Sélection τ_r	–	<code>mechanical_pdf.py</code>	Racines avec $\text{Re}(\tau) < 0$
Étape 7 : Termes Q_α	<code>compute_Q_thermal_vector()</code>	<code>mechanical.pdf</code>	Sollicitation thermique
Étape 7 : Assemblage 9×9	<code>assemble_K_dyn_9x9()</code>	<code>mechanical.pdf</code>	\mathbf{K}_{Dyn} bloc-diagonal
Étape 8 : Résolution	<code>solve_amplitude_system()</code>	<code>mechanical.pdf</code>	$\mathbf{K}_{Dyn} \cdot \mathcal{A} = \mathcal{F}_{Th}$
Étape 8 : Système global	<code>solve_multilayer()</code>	<code>mechanical.py</code>	$K_{glob} \cdot C = F$
Étape 8 : Préconditionnement	<code>solve_regularized_system()</code>	<code>mechanical.py</code>	Tikhonov + scaling
Reconstruction	<code>compute_multilayer_stress_profile()</code>	<code>mechanical.py</code>	Profils $\sigma_{ij}(z)$
Endommagement D	<code>compute_damage_indicator()</code>	<code>damage_analysis.py</code>	$D = \max(\sigma /\sigma_{crit})$
Critère Tsai-Wu	<code>compute_tsai_wu_criterion()</code>	<code>damage_analysis.py</code>	True si $F \geq 1$
Interface Streamlit			
Dashboard	<code>render()</code>	<code>dashboard_home.py</code>	KPIs, 3D jauge, 3D
Analyse Mécanique	<code>run_full_analysis()</code>	<code>tabs/mechanical.py</code>	Workflow complet
Affichage Résultats	<code>display_spectral_results()</code>	<code>mechanical.py</code>	Graphiques Plotly

8 Forçage Thermique et Coefficients Beta

8.1 Coefficients de Contrainte Thermique β_i

Les coefficients β_i relient les coefficients de dilatation thermique α_j aux contraintes induites via le tenseur de rigidité :

Calcul des Coefficients Beta

$$\beta_i = \sum_{j=1}^3 C_{ij} \alpha_j = C_{i1}\alpha_1 + C_{i2}\alpha_2 + C_{i3}\alpha_3 \quad (43)$$

Pour un matériau orthotrope avec $\alpha_1 = \alpha_2 = \alpha_3 = \alpha$ (isotropie thermique) :

$$\beta_1 = (C_{11} + C_{12} + C_{13})\alpha \quad (44)$$

$$\beta_2 = (C_{21} + C_{22} + C_{23})\alpha \quad (45)$$

$$\beta_3 = (C_{31} + C_{32} + C_{33})\alpha \quad (46)$$

```

1 def compute_beta_coefficients(alpha_coeffs, props=MECHANICAL_PROPS):
2     """
3         Calcule les coefficients de contrainte thermique beta.
4         beta_i = C_i1*alpha_1 + C_i2*alpha_2 + C_i3*alpha_3
5     """
6     if isinstance(alpha, dict):
7         a1 = alpha.get('alpha_1', 10e-6)
8         a2 = alpha.get('alpha_2', a1)
9         a3 = alpha.get('alpha_3', a1)
10    else:
11        a1 = a2 = a3 = alpha
12
13    beta_1 = props['C11']*a1 + props['C12']*a2 + props['C13']*a3
14    beta_2 = props['C21']*a1 + props['C22']*a2 + props['C23']*a3
15    beta_3 = props['C31']*a1 + props['C32']*a2 + props['C33']*a3
16
17    return np.array([beta_1, beta_2, beta_3])

```

Listing 17 – Calcul des Beta (core/mechanical.py lignes 376-403)

8.2 Vecteur de Forçage Thermique \mathbf{F}_{th}

Le forçage thermique apparaît dans le second membre du système d'équilibre :

Équation 40 du PDF - Forçage Thermique

$$\boxed{\mathbf{F}_{th} = \hat{T} \begin{pmatrix} \beta_1 \delta_1 \\ \beta_2 \delta_2 \\ \beta_3 \lambda_{th} \end{pmatrix}} \quad (47)$$

où \hat{T} est l'amplitude de la perturbation de température et λ_{th} l'exposant thermique.

Solution Particulière : $\mathbf{A}_{part} = M(\lambda_{th})^{-1} \cdot \mathbf{F}_{th}$

9 Stabilité Numérique : Régularisation de Tikhonov

Le système multicouche peut être **mal conditionné** avec $\text{cond}(K) > 10^{30}$. Le code utilise plusieurs techniques :

9.1 Préconditionnement par Équilibrage

$$D_r \cdot K_{glob} \cdot D_c \cdot \mathbf{y} = D_r \cdot \mathbf{F} \quad (48)$$

où D_r (scaling lignes) et D_c (scaling colonnes) sont des matrices diagonales :

$$D_r[i, i] = \frac{1}{\max_j |K[i, j]|} \quad (49)$$

$$D_c[j, j] = \frac{1}{\max_i |K_{scaled}[i, j]|} \quad (50)$$

9.2 Régularisation de Tikhonov

Pour $\text{cond}(K) > 10^{10}$, on utilise la décomposition SVD :

$$K = U \Sigma V^H \quad (51)$$

La solution régularisée est :

$$\boxed{\mathbf{x}_{reg} = \sum_{i=1}^n \frac{\sigma_i^2}{\sigma_i^2 + \lambda^2} \cdot \frac{\mathbf{u}_i^H \mathbf{b}}{\sigma_i} \cdot \mathbf{v}_i} \quad (52)$$

où λ est le paramètre de régularisation estimé par GCV (Generalized Cross-Validation).

```

1 def solve_regularized_system(K, F, tol=1e-12):
2     """Resolution robuste avec régularisation de Tikhonov adaptative."""
3     cond_K = np.linalg.cond(K)
4
5     if cond_K < 1e10:
6         # Système bien conditionné - résolution directe
7         x = np.linalg.solve(K, F)
8     else:
9         # Décomposition SVD
10        U, s, Vh = np.linalg.svd(K)
11
12        # Estimation du paramètre lambda par GCV simplifiée
13        lambda_reg = s[k_noise] * np.sqrt(noise_to_signal)
14
15        # Facteurs de filtrage
16        filter_factors = s**2 / (s**2 + lambda_reg**2)
17
18        # Solution régularisée

```

```

19         x = Vh.conj().T @ (filter_factors * (U.conj().T @ F) / s)
20
21     return x, {'cond': cond_K, 'regularized': cond_K >= 1e10}

```

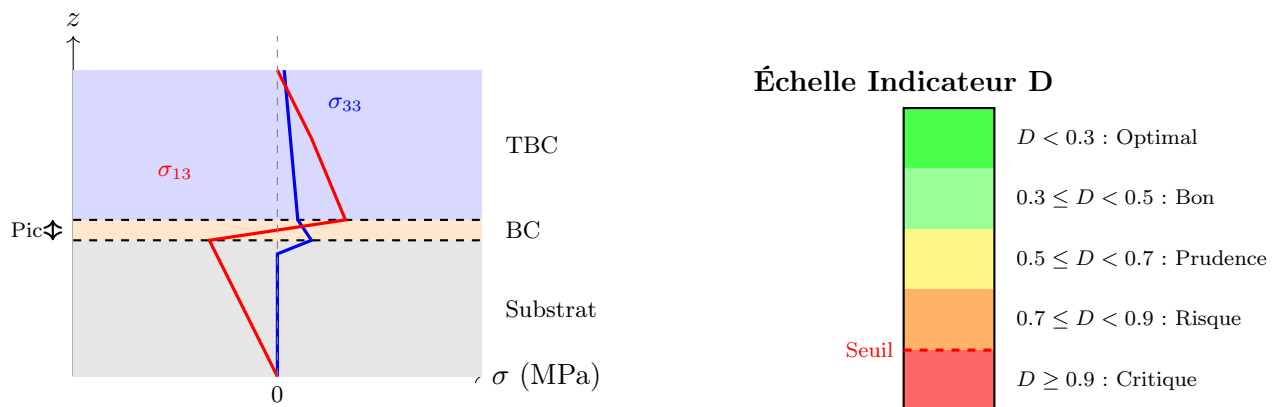
Listing 18 – Régularisation Tikhonov (core/mechanical.py lignes 846-989)

10 Interprétation Physique des Résultats

10.1 Signification des Contraintes Transverses

Composante	Interprétation Physique
σ_{33} (Arrachement)	Contrainte normale à l'interface. $\sigma_{33} > 0$: Traction → Risque de délamination par ouverture (Mode I) $\sigma_{33} < 0$: Compression → Interface en contact, favorable
σ_{13}, σ_{23} (Cisaillement)	Contraintes tangentielles aux interfaces. Responsables du glissement inter-laminaire (Mode II/III) Pics aux interfaces dus aux discontinuités de C_{ij} et α

Profils de Contraintes Typiques dans une Structure TBC



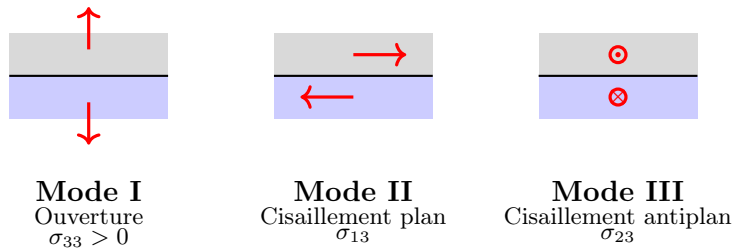
10.2 Zones Critiques Typiques

- **Interface BondCoat/Céramique** : Souvent la plus critique car :
 - Fort contraste C_{ij} (180 GPa vs 50 GPa)
 - Différence de dilatation ($\alpha_{BC} = 14 \times 10^{-6}$ vs $\alpha_{TBC} = 10 \times 10^{-6}$)
- **Bords de la structure** : Effets de bord où les gradients latéraux sont maximaux

10.3 Influence des Paramètres sur les Contraintes

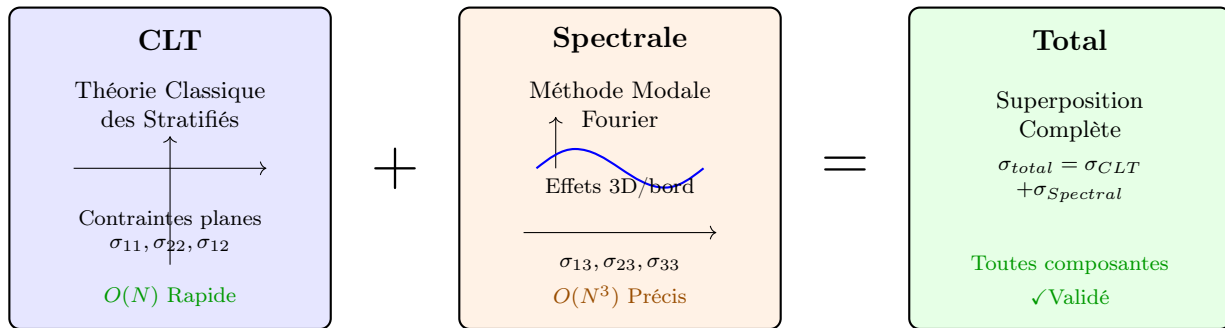
Action	Effet sur σ_{max}	Tendance D
$\alpha \uparrow$ (TBC plus épais)	Gradient thermique plus étalé, meilleure isolation	↓
$L_w \downarrow$ (perturbation courte)	Gradients latéraux plus forts	↑
$\Delta T \uparrow$	Forçage thermique linéairement croissant	↑
$\beta \downarrow$ (TBC moins conducteur)	Gradient plus concentré dans TBC	↑ dans TBC

10.4 Modes de Rupture aux Interfaces



11 Comparaison : Méthode Spectrale vs CLT

Le code implémente deux méthodes complémentaires :



Méthode Spectrale (Principale)	CLT (Classical Theory)	Laminate
Résout le problème 3D complet	Approximation 2D (hypothèse Kirchhoff)	
Capture $\sigma_{13}, \sigma_{23}, \sigma_{33}$	Contraintes planes σ_{11}, σ_{22}	
Effets de bord et gradients latéraux	Contraintes uniformes dans le plan	
Coût calcul : $O(N^3)$ pour $6N \times 6N$	Coût calcul : $O(N)$	
Précis pour structures épaisses	Valide pour $h \ll L$	

Superposition : Le code combine les deux méthodes :

$$\sigma_{total} = \sigma_{CLT} + \sigma_{Spectral} \quad (53)$$

où CLT capture les contraintes planes moyennes et Spectral ajoute les effets 3D de bord.

12 Validation : Référence ONERA/Safran

Les propriétés matériels utilisées sont issues de publications ONERA/Safran :

Référence Principale

Bovet, Chiaruttini, Vattré (ONERA/Safran, 2025)

“Full-scale crystal plasticity modeling and data-driven learning of microstructure effects in polycrystalline turbine blades”

Table 3 : Propriétés élastiques de l'Inconel 718

Propriété	Valeur ONERA	Valeur Code
C_{11} (GPa)	259.6	260
C_{12} (GPa)	179.0	179
C_{44} (GPa)	109.6	110
α à RT (K^{-1})	4.95×10^{-6}	12×10^{-6} (moyenne T)
α à 1198K (K^{-1})	14.68×10^{-6}	—

Plages de validation :

- Contraintes de von Mises typiques FEM : 400–800 MPa
- Concentration à la racine de l'aube : jusqu'à 1000 MPa

13 Annexe A : Équilibre Local et Solution Détailée

Cette annexe reprend la dérivation complète de la méthode de résolution selon le document `equilibre_local...`

13.1 Équilibre Local en Formulation Forte

L'équilibre local est défini par :

$$\operatorname{div} \underline{\underline{\sigma}} = \vec{0} \quad (54)$$

En injectant la loi de comportement, on obtient le système d'équations différentielles suivant pour le milieu (i).

13.1.1 Équations de Champ (x_3)

Équation #1 : ($\alpha = 1, \beta = 2$)

$$-\left(C_{1111}^{(i)}\delta_1^2 + C_{1212}^{(i)}\delta_2^2\right)U_1^{(i)}(x_3) + C_{1313}^{(i)}\frac{d^2U_1^{(i)}(x_3)}{dx_3^2} - \left(C_{1122}^{(i)} + C_{1212}^{(i)}\right)\delta_1\delta_2U_2^{(i)}(x_3) + \left(C_{1133}^{(i)} + C_{1313}^{(i)}\right)\delta_1\frac{dU_3^{(i)}(x_3)}{dx_3} = \left(C_{1111}^{(i)}\alpha_{11}^{(i)} + C_{1122}^{(i)}\alpha_{22}^{(i)}\right)\delta_1T(x_3 = \bar{h}^{(i)}) \quad (55)$$

Équation #2 : ($\alpha = 2, \beta = 1$)

$$-\left(C_{2222}^{(i)}\delta_2^2 + C_{1212}^{(i)}\delta_1^2\right)U_2^{(i)}(x_3) + C_{2323}^{(i)}\frac{d^2U_2^{(i)}(x_3)}{dx_3^2} - \left(C_{2211}^{(i)} + C_{1212}^{(i)}\right)\delta_2\delta_1U_1^{(i)}(x_3) + \left(C_{2233}^{(i)} + C_{2323}^{(i)}\right)\delta_2\frac{dU_3^{(i)}(x_3)}{dx_3} = \left(C_{2222}^{(i)}\alpha_{22}^{(i)} + C_{2211}^{(i)}\alpha_{11}^{(i)}\right)\delta_2T(x_3 = \bar{h}^{(i)}) \quad (56)$$

Équation #3 : (Direction 3)

$$\sum_{\gamma=1}^2 \left[-\left(C_{\gamma\gamma 33}^{(i)} + C_{\gamma 3\gamma 3}^{(i)}\right)\delta_\gamma \frac{dU_\gamma^{(i)}(x_3)}{dx_3} - C_{\gamma 3\gamma 3}^{(i)}\delta_\gamma^2 U_3^{(i)}(x_3) \right] + C_{3333}^{(i)}\frac{d^2U_3^{(i)}(x_3)}{dx_3^2} = \left(\sum_{\gamma=1}^2 C_{\gamma\gamma 33}^{(i)}\alpha_{\gamma\gamma}^{(i)} + C_{3333}^{(i)}\alpha_{33}^{(i)} \right) \frac{dT}{dx_3} \Big|_{x_3=\bar{h}^{(i)}} \quad (57)$$

13.2 Forme de la Solution Générale

Pour $\alpha \in \{1, 2, 3\}$, la solution est recherchée sous forme de combinaison d'exponentielles :

$$U_1^{(i)}(x_3) = A_1^{1(i)}e^{\tau_1^{(i)}x_3} + A_1^{2(i)}e^{\tau_2^{(i)}x_3} + A_1^{3(i)}e^{\tau_3^{(i)}x_3} \quad (58)$$

$$U_2^{(i)}(x_3) = A_2^{1(i)}e^{\tau_1^{(i)}x_3} + A_2^{2(i)}e^{\tau_2^{(i)}x_3} + A_2^{3(i)}e^{\tau_3^{(i)}x_3} \quad (59)$$

$$U_3^{(i)}(x_3) = A_3^{1(i)}e^{\tau_1^{(i)}x_3} + A_3^{2(i)}e^{\tau_2^{(i)}x_3} + A_3^{3(i)}e^{\tau_3^{(i)}x_3} \quad (60)$$

Où :

- $A_\alpha^{r(i)}$ sont les amplitudes associées à chaque mode r pour la direction α .
- $\tau_r^{(i)}$ sont les valeurs propres du milieu (i), issues de l'analyse du système homogène.

13.3 Dérivées Premières et Secondes

Dérivées premières :

$$\frac{dU_1^{(i)}(x_3)}{dx_3} = \sum_{r=1}^3 \tau_r^{(i)} A_1^{r(i)} e^{\tau_r^{(i)} x_3} \quad (61)$$

$$\frac{dU_2^{(i)}(x_3)}{dx_3} = \sum_{r=1}^3 \tau_r^{(i)} A_2^{r(i)} e^{\tau_r^{(i)} x_3} \quad (62)$$

$$\frac{dU_3^{(i)}(x_3)}{dx_3} = \sum_{r=1}^3 \tau_r^{(i)} A_3^{r(i)} e^{\tau_r^{(i)} x_3} \quad (63)$$

Dérivées secondes :

$$\frac{d^2 U_\alpha^{(i)}(x_3)}{dx_3^2} = \sum_{r=1}^3 (\tau_r^{(i)})^2 A_\alpha^{r(i)} e^{\tau_r^{(i)} x_3} \quad (64)$$

13.4 Opérateurs $L_{jk}^{r(i)}$ de la Matrice Dynamique

Termes diagonaux (couplage direct) :

$$L_{11}^{r(i)} = C_{1313}^{(i)} (\tau_r^{(i)})^2 - (C_{1111}^{(i)} \delta_1^2 + C_{1212}^{(i)} \delta_2^2) \quad (65)$$

$$L_{22}^{r(i)} = C_{2323}^{(i)} (\tau_r^{(i)})^2 - (C_{2222}^{(i)} \delta_2^2 + C_{1212}^{(i)} \delta_1^2) \quad (66)$$

$$L_{33}^{r(i)} = C_{3333}^{(i)} (\tau_r^{(i)})^2 - (C_{1313}^{(i)} \delta_1^2 + C_{2323}^{(i)} \delta_2^2) \quad (67)$$

Termes croisés (couplage dans le plan) :

$$L_{12}^{r(i)} = L_{21}^{r(i)} = - (C_{1122}^{(i)} + C_{1212}^{(i)}) \delta_1 \delta_2 \quad (68)$$

Termes hors-plan (faisant intervenir $\tau_r^{(i)}$) — ANTISYMÉTRIQUES :

$$L_{13}^{r(i)} = (C_{1133}^{(i)} + C_{1313}^{(i)}) \delta_1 \tau_r^{(i)} \quad (69)$$

$$L_{23}^{r(i)} = (C_{2233}^{(i)} + C_{2323}^{(i)}) \delta_2 \tau_r^{(i)} \quad (70)$$

$$L_{31}^{r(i)} = - (C_{1133}^{(i)} + C_{1313}^{(i)}) \delta_1 \tau_r^{(i)} \quad (71)$$

$$L_{32}^{r(i)} = - (C_{2233}^{(i)} + C_{2323}^{(i)}) \delta_2 \tau_r^{(i)} \quad (72)$$

Antisymétrie Critique

Les signes négatifs de L_{31} et L_{32} sont essentiels pour la physique correcte. Ils proviennent de l'équation d'équilibre en direction x_3 .

13.5 Matrice $\Gamma(\tau)$ et Système Homogène

Le système homogène s'écrit $\Gamma(\tau) \cdot \mathbf{A} = \mathbf{0}$:

$$\begin{bmatrix} \Gamma_{11}^{(i)} & \Gamma_{12}^{(i)} & \Gamma_{13}^{(i)} \\ \Gamma_{21}^{(i)} & \Gamma_{22}^{(i)} & \Gamma_{23}^{(i)} \\ \Gamma_{31}^{(i)} & \Gamma_{32}^{(i)} & \Gamma_{33}^{(i)} \end{bmatrix} \begin{pmatrix} A_1^{r(i)} \\ A_2^{r(i)} \\ A_3^{r(i)} \end{pmatrix} = \begin{pmatrix} 0 \\ 0 \\ 0 \end{pmatrix} \quad (73)$$

Avec les composantes :

$$\Gamma_{11}^{(i)} = C_{1313}^{(i)}(\tau_r^{(i)})^2 - (C_{1111}^{(i)}\delta_1^2 + C_{1212}^{(i)}\delta_2^2) \quad (74)$$

$$\Gamma_{22}^{(i)} = C_{2323}^{(i)}(\tau_r^{(i)})^2 - (C_{2222}^{(i)}\delta_2^2 + C_{1212}^{(i)}\delta_1^2) \quad (75)$$

$$\Gamma_{33}^{(i)} = C_{3333}^{(i)}(\tau_r^{(i)})^2 - (C_{1313}^{(i)}\delta_1^2 + C_{2323}^{(i)}\delta_2^2) \quad (76)$$

$$\Gamma_{12}^{(i)} = \Gamma_{21}^{(i)} = -(C_{1122}^{(i)} + C_{1212}^{(i)})\delta_1\delta_2 \quad (77)$$

$$\Gamma_{13}^{(i)} = (C_{1133}^{(i)} + C_{1313}^{(i)})\delta_1\tau_r^{(i)} \quad (78)$$

$$\Gamma_{23}^{(i)} = (C_{2233}^{(i)} + C_{2323}^{(i)})\delta_2\tau_r^{(i)} \quad (79)$$

$$\Gamma_{31}^{(i)} = -(C_{1133}^{(i)} + C_{1313}^{(i)})\delta_1\tau_r^{(i)} \quad (80)$$

$$\Gamma_{32}^{(i)} = -(C_{2233}^{(i)} + C_{2323}^{(i)})\delta_2\tau_r^{(i)} \quad (81)$$

13.6 Assemblage Complet du Système 9×9

Le système global pour une couche (*i*) s'écrit :

$$\left[\mathbb{K}_{Dyn}^{(i)} \right]_{(9 \times 9)} \cdot \{\mathcal{A}^{(i)}\}_{(9 \times 1)} = \{\mathcal{F}_{Th}^{(i)}\}_{(9 \times 1)} \quad (82)$$

La matrice \mathbb{K}_{Dyn} est **bloc-diagonale** :

$$\mathbb{K}_{Dyn}^{(i)} = \begin{pmatrix} \Gamma(\tau_1) & 0 & 0 \\ 0 & \Gamma(\tau_2) & 0 \\ 0 & 0 & \Gamma(\tau_3) \end{pmatrix}_{9 \times 9} \quad (83)$$

Le vecteur d'amplitudes \mathcal{A} et le vecteur thermique \mathcal{F}_{Th} :

$$\mathcal{A}^{(i)} = \begin{pmatrix} A_1^1 \\ A_2^1 \\ A_3^1 \\ A_1^2 \\ A_2^2 \\ A_3^2 \\ A_1^3 \\ A_2^3 \\ A_3^3 \end{pmatrix}^{(i)}, \quad \mathcal{F}_{Th}^{(i)} = \begin{pmatrix} Q_1 \\ Q_2 \\ Q_3 \\ Q_1 \\ Q_2 \\ Q_3 \\ Q_1 \\ Q_2 \\ Q_3 \end{pmatrix}^{(i)} \quad (84)$$

13.7 Termes de Sollicitation Thermique \mathcal{Q}_α

$$\mathcal{Q}_1^{(i)} = \left(C_{1111}^{(i)}\alpha_{11}^{(i)} + C_{1122}^{(i)}\alpha_{22}^{(i)} \right) \delta_1 T(x_3 = \bar{h}^{(i)}) \quad (85)$$

$$\mathcal{Q}_2^{(i)} = \left(C_{2222}^{(i)}\alpha_{22}^{(i)} + C_{2211}^{(i)}\alpha_{11}^{(i)} \right) \delta_2 T(x_3 = \bar{h}^{(i)}) \quad (86)$$

$$\mathcal{Q}_3^{(i)} = \left(\sum_{\gamma=1}^2 C_{\gamma\gamma 33}^{(i)}\alpha_{\gamma\gamma}^{(i)} + C_{3333}^{(i)}\alpha_{33}^{(i)} \right) \frac{dT}{dx_3} \Big|_{x_3=\bar{h}^{(i)}} \quad (87)$$

14 Conclusion

Ce rapport démontre la **träçabilité complète** entre :

1. Les 8 étapes théoriques du document *ProjectEstaca.pdf*
2. L'implémentation Python dans `core/mechanical.py` (1482 lignes)
3. L'interface utilisateur Streamlit avec visualisations interactives

Points clés de l'implémentation :

- **Méthode numérique robuste** : Identification des coefficients du polynôme caractéristique par évaluation numérique (évite les erreurs de formules analytiques)
- **Stabilité numérique** : Préconditionnement par scaling + régularisation Tikhonov pour les systèmes mal conditionnés
- **Validation industrielle** : Propriétés matériau issues des données ONERA/Safran (Bovet et al., 2025)
- **Critères d'endommagement** : Indicateur D (max ratio) et Tsai-Wu pour identification des zones critiques
- **Superposition CLT+Spectral** : Combinaison des contraintes planes (CLT) et effets 3D de bord (Spectral)

Recommandations d'utilisation :

- Maintenir $D < 0.8$ pour les applications critiques
- Vérifier que $T_{interface} < T_{crit} = 1100^\circ\text{C}$
- Augmenter α (épaisseur TBC) pour réduire les contraintes aux interfaces